

بِسْمِ اللّٰهِ الرَّحْمٰنِ الرَّحِيْمِ

1107DE

۸۷/۱۱.۷/۱۴۷
۸۷/۱۲/۱۷

دانشگاه تهران

پردیس علوم

دانشکده شیمی

کاربرد کولومتریک ولتاوتمتری چرخه ای پیوسته با تبدیل فوریه‌ی سریع برای تعیین مقادیر کمتر از نانو مولار هروئین

نگارش:

اسماعیل حق شناس

اساتید راهنمای:

آقای دکتر پرویز نوروزی

آقای دکتر محمد رضا گنجعلی

استاد مشاور:

خانم دکتر فرزانه شمیرانی



۱۳۸۷/۱۲/۱۲

پایان نامه برای دریافت درجه کارشناسی ارشد

در رشته شیمی تجزیه

۱۳۸۷ بهمن

۱۱۰۶۵۴



جمهوری اسلامی ایران

دانشگاه تهران

شماره
تاریخ
پیوست

باسمه تعالیٰ

اداره کل تحقیقات تکمیلی

تعهد نامه اصحاب اثر

اینجانب ایها، میلیح حق تعمید می شوم که مطالب مندرج در این پایان نامه / رساله حاصل کار پژوهشی اینجانب است و به دستاوردهای پژوهشی دیگران که در این پژوهش از آنها استفاده شده است، مطابق مقررات ارجاع و در فهرست منابع و مأخذ ذکر گردیده است. این پایان نامه / رساله قبله برای احراز هیچ مدرک هم سطح یا بالاتر ارائه نشده است. در صورت اثبات تخلف (در هر زمان) مدرک تحصیلی صادر شده توسط دانشگاه از اعتبار ساقط خواهد شد. کلیه حقوق مادی و معنوی این اثر متعلق به پردیس / دانشکده / مرکز دانشگاه تهران می باشد.

نام و نام خانوادگی دانشجو
اعضاء المساعل حق رئاس

آدرس : خیابان القلب اول خیابان فخر رازی - پلاک ۵ کد پستی : ۱۳۰۴۵/۵۸
لایکس : ۶۶۹۷۳۱۴



بنام خدا

دانشگاه تهران

پردیس: علوم

دانشکده: شیمی

گواهی دفاع از پایان نامه کارشناسی ارشد

هیات داوران پایان نامه کارشناسی ارشد آقای اسماعیل حق شناس در رشته شیمی گرایش تجزیه

با عنوان:

کاربرد کولومتریک و لاتامتری چرخه‌ای پیوسته با تبدیل فوریه سریع برای تعیین مقدار کمتر از نانومولار

مشتقات مرفین

در تاریخ ۸۷/۱۱/۳۰

به عدد

به حروف

با نمره نهایی:

۱۹/۴

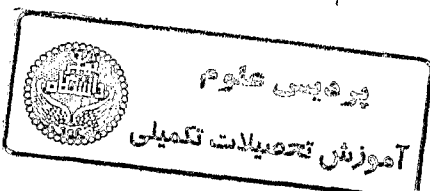
ارزیابی نمود.

عالی

و درجه:

ردیف	مشخصات هیات داوران	نام و نام خانوادگی	مرتبه دانشگاهی	دانشگاه یا موسسه	اعضاء
۱	استاد راهنمای دوم (حسب مورد):	دکتر محمد رضا گنجعلی	استاد	تهران	
۲	استاد مشاور:	دکتر فرزانه شمیرانی	استاد	تهران	
۳	استاد مدعو: (داور داخلی)	دکتر حسن سرشی	استاد دیار	تهران	
۴	استاد مدعو: (داور داخلی)				
۵	نماینده کمیته تحصیلات تکمیلی پردیس یا دانشکده شیمی:	دکتر حسین مهدوی	دانشیار	تهران	

تذکر: این برگه پس از تکمیل توسط هیات داوران در نخستین صفحه پایان نامه درج می‌گردد.



آموزش تحقیقات تکمیلی

تَقْدِيمٌ بِهِ كَمِي كَدَسْتَ هَايِ حُكْمَى نَادِيرُش،

أَرَادَه آهْنِيش

وَمُجْتَهَى بِي دِينِشْ تَقْسِيرِيَا شَارَاسْتَ

تَقْدِيمٌ بِهِ پَدرُوم

تَقْدِيمٌ بِهِ مَادِ عَزِيزُمْ

بِهِ پَاسِ عَاطِفَه سَرِشَارَش

بِهِ پَاسِ قَلْبِ بَزَرْكَشْ كَفْرِيَا درَسْ اَسْتَ

وَبِهِ پَاسِ مجْتَهَى بِي دِينِشْ كَهْ فَرُوكَشْ بَهْيِ كَند... .

و

تَقْدِيمٌ بِهِ كَلَانِي كَهْ باَتَامْ وَجَودُ دُوْشَانَ دَارُومْ.

چکیده

در این تحقیق از روش ولتامتری چرخه‌ای پیوسته بر روی میکروالکترود طلا در مطالعه‌ی هروئین استفاده شده است. هروئین در بافر فسفات (pH ۲/۱) در پتانسیل $mv = ۴۰۰$ باعث بالا بردن تغییرات جریان پیک اکسیداسیون طلا در سیستم تزریق جریانی می‌شود. پاسخ الکترود بر اساس تبادلات کلی و جزئی بار در سطح و پس از حذف نوفه زمینه بدست می‌آید. این روش دارای مزایایی است، که عبارتند از: نیازی به حذف اکسیژن در محلول آنالیت ندارد، این روش خیلی سریع است و یک روش مناسب برای تعیین ترکیبات دارویی در روش‌های کروماتوگرافی است. نسبت سیگنال به نوفه به طور چشم‌گیری با استفاده از روش تبدیل فوریه‌ی سریع، حذف جریان زمینه و انتگرال گیری دو بعدی از پاسخ الکترود در محدوده‌ی پتانسیلی انتخاب شده، افزایش پیدا می‌کند. در این تحقیق بعضی از پارامترها از قبیل: سرعت روبش، pH شوینده، زمان و پتانسیل تجمع بهینه شدند.

محدوده‌ی خطی در این روش $M = ۰/۹۹۴۶ \times 10^{-۸} - ۵ \times 10^{-۱۲}$ و حد تشخیص و حد کمی بودن به ترتیب $M = ۸ \times 10^{-۱۲}$ و $M = ۵ \times 10^{-۱۲}$ به دست آمد.

کلمات کلیدی: ولتامتری چرخه‌ای پیوسته، هروئین، میکروالکترود طلا، سیستم تزریق جریانی، تبدیل فوریه‌ی سریع.

پاس می‌گوییم خداوند بزرگ را که انسان را به زیور عقل آراست و از او نذیر شدند خواست. بی‌شک و انتن و تبرک دهن محترمین

رسالت آدمی است. چرا که در این راه در می‌یابد رازهای وجود را، و می‌کوشد در راه پاس کزاردن نعمات بی‌شمار آن یکتایی بی‌هستا.

من بر خود لازم می‌دانم که پس از خدای بزرگ که بمنواره در طول زندگی یار و یاور من بوده‌ام، از حیات هاوز محات استاید که انانمی‌خود،
جناب آقا‌ی دکتر محمد رضا گنجعلی و جناب آقا‌ی دکتر پرویز نوروزی که به من منت گذاشتند و با بزرگواری، هدایت این تحقیق را به عهده
کرند، مشکر نایم.

از استاد مشاور و گرانمایه سرکار خانم فرزانه شمسیرانی به پاس راهنمایی ها و نظرات ارزمند شان پاسکزاری می‌نمایم.

از محضر استاد بزرگوار جناب آقا‌ی دکتر سرسرشی که زحمت و اوری این پایان نامه را قبول فرمودند کمال قدردانی را دارم.

به عنین از دوستان غیرآقا‌یان: جواد غلامی، علی عزره پور، محمد رضا صمیری، محمد تقی حسینزاده، علی‌اکبری صحبت و خانم پرندیس

و اسکنگ که در به پایان رساندن این پایان نامه به این جناب خلیل گذاشتند، نهایت مشکر را دارم.

فهرست مطالب

خلاصه فارسی

خلاصه انگلیسی

عنوان.....صفحه

۱	فصل اول: مفاهیم الکتروشیمی
۲	۱-۱- مقدمه
۳	۲-۱- سل های الکتروشیمیای
۴	۳-۱- بررسی سرعت واکنش الکتروشیمیایی
۴	۴-۱-۳-۱- واکنش های کنترل شده با انتقال ماده
۴	۴-۱-۳-۱-۱- همرفت
۵	۴-۱-۳-۱-۲- مهاجرت
۵	۴-۱-۳-۱-۳- انتشار
۷	۴-۱- واکنش های کنترل شده با سرعت انتقال الکترون
۸	۵-۱- لایه‌ی دوگانه‌ی الکتریکی
۹	۵-۱-۱- مدل هلمهولتز (۱۸۷۹)
۱۰	۵-۱-۲- مدل گوی چمن (۱۹۱۰-۱۹۱۳)
۱۱	۵-۱-۳- مدل اشترن (۱۹۲۴)
۱۲	۶-۱- ولتاوری
۱۳	۷-۱- ولتاوری چرخه‌ای (CV)
۱۹	۷-۱-۱- سیستم‌های برگشت پذیر
۱۷	۷-۱-۲- سیستم‌های برگشت ناپذیر و شبه برگشت پذیر
۱۸	۸-۱- میکروالکترودها
۱۹	۹-۱- ولتاوری چرخه‌ای در میکروالکترودها
۲۰	۱۰-۱- فرایند‌های جذب سطحی
۲۲	۱۱-۱- روش‌های تجزیه‌ای با برهنه سازی
۲۳	۱۱-۱-۱- ولتاوری با برهنه سازی آندی (ASV)

۱۱-۲-۱-ولتاوری با برهنه سازی کاتدی (CSV).....	۲۴
۱۱-۳-ولتاوری با برهنه سازی جذب سطحی (AdSV).....	۲۵
فصل دوم: روش های بهبود سیگنال به نوافه	
۱-۱-مقدمه	۲۷
۲-۱-سیگنال و نوافه	۲۷
۲-۲-بزرگی نوافه	۲۸
۲-۳-منابع نوافه در تجزیه‌ی دستگاهی	۲۸
۲-۴-نوافه‌ی شیمیایی.....	۲۹
۲-۴-۱-نوافه‌ی دستگاهی.....	۳۰
۲-۴-۲-نسبت سیگنال به نوافه	۳۰
۲-۴-۳-افزایش نسبت سیگنال به نوافه	۳۰
۲-۶-۱-روش سخت افزاری (روش آنالوگ).....	۳۱
۲-۶-۲-اتصال به زمین و حفاظت دار سازی	۳۱
۲-۶-۳-فیلتر کردن.....	۳۱
۲-۶-۴-مدولاسیون.....	۳۲
۲-۶-۵-روش نرم افزاری (دیجیتالی).....	۳۳
۲-۶-۶-۱-میانگین گیری از مجموع	۳۳
۲-۶-۶-۲-میانگین گیری بوکس کار.....	۳۴
۲-۶-۶-۳-روش تبدیل فوریه.....	۳۴
فصل سوم: بخش تجربی	
۳-۱-معرفی هروئین	۳۷
۳-۲-بخش تجربی	۳۹
۳-۲-۱-مواد شیمیایی استفاده شده در این آزمایش	۳۹
۳-۲-۲-بخش‌های مختلف سیستم اندازه گیری در تحقیق حاضر	۴۰
۳-۲-۳-مخزن نگهداری بافر	۴۱
۳-۲-۴-سیستم انتقال محلول(پمپ و لوله‌های انتقال محلول)	۴۱

۴۳	-۳-۲-۲-۳- سیستم تزریق نمونه
۴۶	-۴-۲-۲-۳- سل الکتروشیمیایی
۴۷	-۵-۲-۲-۳- پتانسیو استات
۴۸	-۶-۲-۲-۳- سیستم پردازش داده ها
۴۹	-۳-۲-۳- معرفی نرم افزار به کار رفته
۵۱	-۴-۲-۳- برنامه ای پتانسیل اعمالی
۵۳	-۵-۲-۳- آماده سازی دستگاه هری، بافر و محلول های هروئین
۵۴	-۶-۲-۳- بررسی فاکتور های موجود در نرم افزار
۵۴	-۱-۶-۲-۳- بازه ای زمانی
۵۵	-۲-۶-۲-۳- تعداد چرخه ها
۵۵	-۳-۶-۲-۳- Gain و DC Rang
۵۶	-۴-۶-۲-۳- انتخاب پتانسیل محدوده ای رویش
۵۸	-۷-۲-۳- مکانیسم کلی واکنش
۶۲	-۸-۲-۳- نمایش سه بعدی تغییرات ولتاوم گرام طلا هنگام تزریق محلول هروئین
۶۵	-۹-۲-۳- کاهش نوفه، هموار سازی پیک

۶۹	فصل چهارم: بحث و نتیجه گیری
۷۰	-۱-۴- بررسی پارامتر های بهینه شده توسط شبیه سازی پدیده ای جذب سطحی دارو
۷۶	-۲-۴- بهینه سازی شرایط
۷۷	-۱-۲-۴- محدوده ای انتگرال گیری E_1 و E_2
۸۱	-۲-۲-۴- اثر pH محلول شوینده
۸۳	-۳-۲-۴- پتانسیل تجمع
۸۴	-۴-۲-۴- زمان تجمع
۸۷	-۵-۲-۴- سرعت رویش و سرعت جریان شوینده
۹۲	-۳-۴- منحنی کالیبراسیون و حد تشخیص
۹۴	-۴-۴- بررسی منحنی کالیبراسیون از لحظه ایزو ترم جذب سطحی
۹۸	-۵-۴- دقت

۹۸.....	-۱- انحراف استاندارد (S_D)	۴-۵-۱
۹۹.....	-۲- واریانس (S_D^2)	۴-۵-۲
۹۹.....	-۳- انحراف استاندارد نسبی (RSD)	۴-۵-۳
۱۰۰.....	-۴- بررسی پایداری پاسخ	۴-۶-۱
۱۰۰.....	-۷- مقایسه این روش با سایر روش های گزارش شده	۴-۷-۱
۱۰۱.....	-۸- نتیجه گیری	۴-۸-۱
۱۰۲.....	منابع	

فهرست جداول:

جدول (۱-۴). اثر pH بر روی پاسخ میکروالکترود طلا برای محلول $M \times 10^{-8}$ هروئین.....	۸۳
جدول (۲-۴). تأثیر پتانسیل و زمان تجمع بر روی ارتفاع سیگنال	۸۶
جدول (۳-۴). تأثیر سرعت روبش و سرعت جریان شوینده بر روی ارتفاع سیگنال	۹۱
جدول (۴-۴). داده های حاصل از ۶ بار تزریق محلول هروئین با غلظت های مختلف	۱۰۰
جدول (۵-۴). مقایسه حساسیت روش های گزارش شده برای اندازه گیری هروئین، با روش ارائه شده در این تحقیق	۱۰۱

فهرست شکل ها

شکل (۱-۱). سل الکتروشیمیایی برای اندازه گیری پتانسیل استاندارد روی.....	۳
شکل (۲-۱). میدان های انتشاری (a) مسطح و (b) کروی در سطح الکترود کروی.....	۷
شکل (۳-۱). لایه‌ی دوگانه مدل هلمهولتز.....	۹
شکل (۴-۱). لایه‌ی دوگانه مدل گوی-چمن (.....)	۱۰
شکل (۵-۱). لایه‌ی دوگانه مدل اشنرون	۱۱
شکل (۶-۱). برنامه پتانسیلی در ولتامتری چرخه‌ای.....	۱۴
شکل (۷-۱). ولتاموگرام چرخه‌ای در سیستم برگشت پذیر.....	۱۴
شکل (۸-۱). برش غلطت- فاصله در قسمت‌های مختلف ولتاموگرام، در طی روش.....	۱۵
شکل (۹-۱). مقایسه‌ی ولتاموگرام‌های (A) برگشت پذیر با شبه برگشت پذیر و (B) شبه برگشت پذیر با برگشت ناپذیر.....	۱۸
شکل (۱۰-۱). ولتامتری چرخه‌ای ایده‌آل برای یک لایه‌ی سطحی بر روی الکترود.....	۲۱
شکل (۱۱-۱). ولتامتری با برهمه سازی آندی (a) برنامه‌ی پتانسیل- زمان (b) ولتاموگرام حاصل.....	۲۴
شکل (۱-۲). نمایش طیف توان نوفه (NPS) و تأثیر فرکانس بر روی انواع نوفه.....	۲۹
شکل (۲-۲). فیلتر پایین گذر و بالا گذر.....	۳۲
شکل (۳-۲). میانگین گیری "بوکس کار".....	۳۴
شکل (۴-۲). مراحل انجام تبدیل فوریه.....	۳۵
شکل (۱-۳). ساختار شیمیایی هروئین.....	۳۸
شکل (۲-۳). متابولیسم هروئین در بدن.....	۴۸
شکل (۳-۳). دستگاههایی به کار رفته در این تحقیق.....	۴۱
شکل (۴-۳). پمپ پریستالیک به کار رفته در این تحقیق.....	۴۲
شکل (۵-۳). نمای بالایی پمپ پریستالیک به کار رفته	۴۳
شکل (۶-۳). سیستم تزریق به کار رفته در این تحقیق.....	۴۴
شکل (۷-۳). نحوه‌ی عملکرد شیر تزریق ۶ درجه‌ای.....	۴۵
شکل (۸-۳). نمایش پیدایش پیک بر اثر دو بار تزریق محلول هروئین M^{-7} ۱۰	۴۶
شکل (۹-۳). سل الکتروشیمیایی به کار رفته.....	۴۷
شکل (۱۰-۳). پتانسیواستات به کار رفته در این تحقیق.....	۴۸

۴۹ شکل (۱۱-۳). شمایی از نرم افزار استفاده شده
۵۰ شکل (۱۲-۳). متغیرهای مختلف موجود در نرم افزار
۵۱ شکل (۱۳-۳). نمایش چهار متغیر زمان، پتانسیل، جریان و درصد تغییرات بار به طور هم زمان
۵۲ شکل (۱۴-۳). برنامه‌ی پتانسیل اعمال شده به الکترود کار
۵۶ شکل (۱۵-۳). تأثیر مقدار DC Rang و Gain بر روی شکل ولتاوموگرام
۵۷ شکل (۱۶-۳). تأثیر انتخاب اشتباه پتانسیل اولیه و ثانویه بر روی شکل ولتاوموگرام چرخه‌ای طلا در بافر فسفات M ۰/۰۵ با pH ۲/۱
۵۹ کل (۱۷-۳). ولتاوموگرام چرخه‌ای طلا در بافر فسفات M ۰/۰۵ با pH ۲/۲
۵۹ شکل (۱۸-۳). چگونگی جایه جایی مولکول‌های جذب شونده با مولکول‌های حلال در سطح الکترود
۶۰ شکل (۱۹-۳). جایگزینی هروئین به جای مولکول‌های آب، بر روی سطح طلا
۶۱ شکل (۲۰-۳). نمایش تغییرات جریان و تغییرات بار ایجاد شده بر روی ولتاوموگرام چرخه‌ای طلا در بافر فسفات M ۰/۰۵ با pH ۲/۱ در اثر جذب سطحی هروئین
۶۲ شکل (۲۱-۳). شکل صفحه‌ی اصلی نرم افزار پس از سه بار تزریق محلول هروئین $M^{-7} \cdot 10^{-7}$
۶۳ شکل (۲۲-۳). نمایی از صفحه‌ی پس از انتخاب گزینه‌ی Response
۶۴ شکل (۲۳-۳). گزینه‌های مربوط به نمایش سه بعدی و دو بعدی ولتاوموگرام و چگونگی نمایش آن‌ها در راستای محورها
۶۴ شکل (۲۴-۳). شکل سه بعدی ولتاوموگرام پیوسته‌ی حاصل از دو بار تزریق محلول هروئین $M^{-7} \cdot 10^{-7}$
۶۵ شکل (۲۵-۳). نمودار سه بعدی حاصل از دو بار تزریق محلول هروئین M^{-7} پس از کسر جریان زمینه
۶۶ شکل (۲۶-۳). نمایی از پنجره‌ی Smoothing در برنامه‌ی نرم افزاری برای کاهش نوفه
۶۷ شکل (۲۷-۳). نمایش سه پیک قبل و بعد از هموار سازی
۶۷ شکل (۲۸-۳). تأثیر انتخاب مقدار بالای فرکانس برش
۶۸ شکل (۲۹-۳). نمایش داده‌های آزمایشی پس از انتقال به نرم افزار اکسل
۷۱ شکل (۴-۱). تأثیر زمان تجمع و غلظت دارو بر غلظت سطحی الکترود
۷۳ شکل (۴-۲). نمایش سه بعدی تأثیر زمان تجمع و غلظت دارو بر غلظت سطحی الکترود توسط شبیه سازی
۷۴ شکل (۴-۳). تأثیر پتانسیل و زمان تجمع بر مقدار بار جایه جا شده (ΔQ) توسط شبیه سازی

شکل (۴-۴). تأثیر زمان تجمع و غلظت دارو بر میزان پوشش سطحی الکترود (θ) توسط شیوه سازی ۷۵
شکل (۴-۵). تأثیر مقدار زمان تجمع بر حساسیت و محدوده‌ی خطی منحنی کالیبراسیون توسط شیوه سازی ۷۶
شکل (۶-۴). نمایش دو بعدی تغییرات بار جابه‌جا شده با کسر جریان زمینه در پتانسیل‌های مختلف ۷۷
شکل (۷-۴). تأثیر پتانسیل‌های محدوده‌ی انتگرال گیری بر روی ارتفاع پیک‌های حاصل از تزریق محلول هروئین ۷۸
شکل (۸-۴). تأثیر سرعت روبش پتانسیل بر روی انتخاب محدوده‌ی انتگرال گیری ۷۹
شکل (۹-۴) نمایش دو بعدی ولتاومگرام قبل و بعد از تزریق محلول $M \times 10^{-8}$ هروئین ۸۰
شکل (۱۰-۴). تأثیر تداخل مناطق مثبت و منفی بار جابه‌جا شده بر روی ارتفاع پیک حاصل از جذب سطحی طلا ۸۱
شکل (۱۱-۴). نمایش ولتاومگرام چرخه‌ای طلا در بافر فسفات $M \times 10^{-8}$ با pH ۰/۰۵ با pH‌های مختلف ۸۲
شکل (۱۲-۴). تأثیر pH بر روی شکل و ارتفاع پیک‌های حاصل از تزریق محلول هروئین $M \times 10^{-8}$ ۸۳
شکل (۱۳-۴) تأثیر (a) پتانسیل تجمع و (b) زمان تجمع بر ارتفاع پیک‌های حاصل از تزریق محلول هروئین $M \times 10^{-8}$ ۸۵
شکل (۱۴-۴). تأثیر زمان تجمع بر پهنه‌ای و ارتفاع پیک‌های حاصل از تزریق محلول هروئین $M \times 10^{-8}$ ۸۷
شکل (۱۵-۴). تأثیر سرعت روبش پتانسیل بر روی ولتاومگرام چرخه‌ای طلا در بافر فسفات $M \times 10^{-8}$ با pH ۰/۰۵ ۸۸
شکل (۱۶-۴). آثار (a) همرفت و (b) نفوذ بر نیم رخ غلظتی نمونه در سیستم تزریق جریانی ۸۹
شکل (۱۷-۴). تأثیر سرعت جریان شوینده بر پهنا وارتفاع پیک‌های حاصل از سه بار تزریق محلول هروئین $M \times 10^{-8}$ در بافر فسفات $M \times 10^{-8}$ با pH ۰/۰۵ ۹۰
شکل (۱۸-۴). بررسی تأثیر سرعت روبش و سرعت جریان شوینده بر روی سیگنال حاصل از محلول $M \times 10^{-8}$ هروئین ۹۲
شکل (۱۹-۴). منحنی کالیبراسیون مربوط به هروئین در شرایط بهینه‌ی آزمایشی ۹۴
شکل (۲۰-۴). تأثیر مقدار n بر روی نمودار ایزووترم جذب سطحی در غلظت‌های بالا ۹۶
شکل (۲۱-۴). مقدار بار جابه‌جا شده (ΔQ) بر حسب غلظت محلول هروئین ۹۷
شکل (۲۲-۴). نمودار Log ΔQ بر حسب Log C برای محلول هروئین ۹۸

فصل اول

مفاهیم الکتروشیمیا

فصل اول: مفاهیم الکتروشیمی

۱- مقدمه

شیمی الکتروآنالیتیکی گروهی از روش‌های تجزیه‌ی کمی را در بر می‌گیرد که بر اساس خواص الکتریکی محلولی از آنالیت که قسمتی از یک سلول الکتروشیمیابی را تشکیل می‌دهد، استوارند [۱]. به عبارتی دیگر الکتروشیمی پدیده‌های شیمیابی را شامل می‌شود که همراه با جدایش بار است. اغلب این جدایی بارها، به انتقال بار منجر می‌شود که می‌تواند به صورت هموژن در محلول یا هتروژن در سطح الکترود رخ دهد. در حقیقت برای خشی بودن الکتریکی معمولاً دو یا چند نیم واکنش انتقال الکترونی در جهت‌های مخالف انجام می‌شود. به جز واکنش‌های ردوکس هموژن، این نیم واکنش‌ها از یکدیگر جدا شده‌اند و معمولاً در الکترودهای متفاوت شناور در محلول، در یک سل اتفاق می‌افتد. الکتروشیمی محدوده‌ی وسیع و متفاوتی از پدیده‌های شیمیابی و فیزیکی را شامل می‌شود که عبارتند از شیمی باتری، فتوسترز، الکترودهای یون‌گرین، ولتا مترا، کولومتری و.... علم الکتروشیمی در واقع بسیاری از فرایندهای مختلف دیگر (نظیر خوردگی)، ابزارهای متنوع (نظیر صفحات نمایش رنگی، حسگرهای الکتروشیمیابی، پیل‌ها و سلول‌های سوختی)، و کاربردهای صنعتی (نظیر آبکاری فلزات و یا تولید انبوه فلز آلومینیوم، کلر و سود) را شامل می‌شود [۲].

در این سیستم‌ها، یک محرک به سیستم اعمال شده و پاسخ آن بررسی می‌شود. تفاوت اساسی در سیستم‌های مختلف الکتروشیمیابی نوع محرک و پاسخ سیستم است. در الکتروشیمی، محرک معمولاً یک جریان الکتریکی است و کمیت‌های الکتریکی نظیر شدت جریان، پتانسیل و مقدار بار جابه‌جا شده به منزله‌ی پاسخ سیستم اندازه‌گیری می‌شوند. در نهایت بین این کمیت‌ها با پارامترهای شیمیابی، ارتباط برقرار می‌شود [۳].

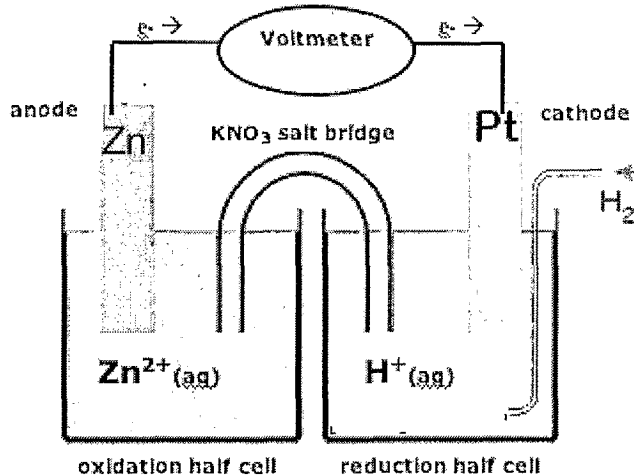
روش‌های الکتروشیمیابی انواع مختلفی دارند. معمولاً نوع محرک به کار رفته در اندازه‌گیری‌های کمی تجزیه‌ای، در انواع مختلف روش‌های الکتروشیمی تجزیه‌ای باعث تمايز آن‌ها شده است. بر این اساس دو نوع اصلی از اندازه‌گیری‌های الکتروشیمیابی تجزیه، روش‌های پتانسیومتری و روش‌های پتانسیوستاتیبی می‌باشند. روش‌های جریان صفر (روش‌های جریان صفر) بر روایت ترمودینامیکی استوار هستند، که اساسی ترین رابطه‌ی حاکم بر روش‌های پتانسیومتری رابطه‌ی مشهور نرنست است. روش‌های پتانسیو استاتیبی بر وضعیت پویا (جریان غیر صفر) استوارند.

سیستم‌های با پتانسیل کنترل شده از گزینش پذیری بالایی در مورد گونه‌های الکتروفعال برخوردارند، حساسیت بالا و محدوده‌ی خطی وسیعی دارند. این روش‌ها در عین حال، اندازه‌گیری در محیط‌های متحرک مانند انواع کروماتو گرافی و الکتروفورز را میسر می‌سازند [۴].

۱-۲- سل های الکتروشیمیای

سل ها جایگاه واکنش های الکتروشیمیایی می باشند. هر سل از دو نیم سل تشکیل شده است، هر نیم سل نیز به نوعه‌ی خود از یک قسمت هادی به نام الکترود تشکیل می شود که در محلولی از یک الکترولیت مناسب شناور است. برای برای برقراری ارتباط بین دو نیم سل و ایجاد مداری پیوسته جهت عبور جریان باید:

- دو الکترود را از طریق یک مدار در بیرون سل به هم مربوط ساخت.
- الکترولیت های دو نیم سل را (در صورت متفاوت بودن از نظر ترکیب شیمیایی) طوری با هم مربوط ساخت که بدون اختلاط با یکدیگر، ارتباط الکتریکی بین دو نیم سل، از طریق جابه جایی یون های مناسب، فراهم گردد. این امر با استفاده از دیواره های متخلخل و یا پل های نمکی، انجام پذیر است. در تمامی سل ها، الکترودی که در آن واکنش احیا انجام می گیرد کاتد نامیده می شود و الکترودی که جایگاه اکسیداسیون است آند نام دارد. در اغلب موارد ممکن است تنها واکنش مربوط به یکی از نیم سل ها از دیدگاه تجزیه ای مورد توجه قرار گیرد. چنین نیم سلی را نیم سل کار و الکترود شناور در آن را الکترود کار می نامند. در این حالت، نیم سل دیگر را نیم سل مخالف یا کمکی و الکترود شناور در آن را الکترود مخالف یا کمکی تشکیل می دهد [۵۶]. شکل (۱-۱) سل الکتروشیمیایی مربوط به اندازه گیری پتانسیل استاندارد روی را نشان می دهد.



شکل (۱-۱). سل الکتروشیمیایی برای اندازه گیری پتانسیل استاندارد روی.

۱-۳- بررسی سرعت واکنش الکتروشیمیایی

فرآیند الکترودی شامل انتقال گونه های الکتروفعال از درون محلول به سطح الکترود، انتقال الکترون در حد فاصل الکترود- محلول و انتقال بر عکس محصول به درون محلول می باشد. ولی این در حالی است که بسیاری از فرآیندهای الکترودی مسیرهای پیچیده تری را طی می کنند. به عنوان مثال این فرآیندها می توانند شامل انواع مختلف فرآیندهای شیمیایی و سطحی شوند، که می توانند پیش از فرآیند واقعی انتقال الکترون (فرآیندهای مقدم) و یا بعد از آن (فرآیندهای مؤخر) صورت گیرند. هر چه سرعت واکنش الکتروشیمیایی بیشتر باشد، میزان جریان اندازه گیری شده زیاد تر خواهد بود. به طور کلی سرعت واکنش الکترودی توسط دو عامل کنترل می شود، که یکی عامل انتقال گونه واکنش دهنده به سطح الکترود و دومین عامل، انتقال الکترون در حد فاصل الکترود- محلول می باشد. هر یک از این دو فرآیند که سرعت کمتری داشته باشند، کنترل کننده ای سرعت کل فرآیند الکتروشیمیایی می باشند.

۱-۳-۱- واکنش های کنترل شده با انتقال ماده

وقتی واکنش کلی کاملاً^۱ به وسیله ای سرعت رسیدن گونه ای الکتروفعال به سطح الکترود کنترل می شود، گفته می شود که جریان به وسیله ای انتقال ماده محدود می گردد. چنین واکنش هایی را واکنش های نرنستی یا برگشت پذیر می نامند. در طی واکنش های الکترودی غلظت گونه های الکتروفعال دچار تغییر می شود. در این حالت اکسید کننده در کاتد و احیا کننده در آند مصرف شده و به ترتیب احیا کننده و اکسید کننده به جای آن ها تولید می شوند. در نتیجه ادامه ای عبور جریان بین دو نیم سل در یک سل، به شرطی ممکن است که به کمک پدیده های انتقال ماده، جای گونه های الکتروشیمیایی مصرف شده در واکنش الکترودی پر شود و گونه های تولید شده از واکنش های الکترودی نیز از سطح الکترود دور شوند. انتقال ماده در درون محلول طی سه مکانیسم انجام می شود:

۱-۱-۱- همرفت^۱

واکنش دهنده ها می توانند توسط عوامل فیزیکی مانند: به هم زدن محلول، چرخش الکترود، جریان محلول، اختلاف دما و چگالی و.... به سطح الکترود آورده یا از سطح آن دور شوند. این عوامل به طور

¹ Convection

فصل اول: مفاهیم الکتروشیمی

کلی همرفت نامیده می شوند. همرفت موجب سریع ترشدن جایه جایی ماده در درون محلول و در نتیجه افزایش جریان می شود ولی تأثیری بر روند انتقال ماده در درون لایه ای انتشار ندارد. با زیاد شدن همرفت، ضخامت لایه انتشار کاهش یافته و در نتیجه جریان افزایش می یابد.

۱-۳-۲- مهاجرت^۱

فرایندی که توسط آن یون ها تحت نفوذ یک میدان الکتروستاتیکی به حرکت در می آیند، مهاجرت نامیده می شود. یون ها در محلول مسئول انتقال بار الکتریکی و عبور جریان در محلول هستند. این امر مستلزم جایه جایی یون ها در داخل محلول به هنگام کار کرد سل می باشد به طوری که آنیون ها، هم جهت با الکترون های مدار خارجی حرکت می کنند و کاتیون ها در خلاف جهت حرکت آنیون ها در داخل محلول جایه جا می شوند. بنابراین در جریان مهاجرت، آنیون ها به سوی آند و کاتیون ها به سوی کاتد حرکت می کنند. تمام یون های موجود در الکتروولیت یک سل در انتقال جریان از طریق مهاجرت شرکت می کنند ولی همه ای آن ها پس از رسیدن به مجاورت الکترود الزاماً در واکنش الکتروشیمیایی شرکت نمی کنند و تنها یون هایی در فرایند انتقال بار شرکت می کنند که پتانسیل الکترود برای اکسیداسیون و احیای آن ها کافی باشد.

۱-۳-۳- انتشار^۲

هر زمان اختلاف غلظت بین دو ناحیه از یک محلول به وجود آید، مانند زمانی که گونه ای در سطح کاتد کاهیده می شود (یا در سطح آند اکسید می شود)، یون ها یا مولکول ها به علت انتشار، از ناحیه ای غلیظ تر به ناحیه ای رقیق تر حرکت می کنند. سرعت انتشار dc/dt با رابطه ای زیر داده می شود:

$$\frac{dc}{dt} = k(C - C_0) \quad (1-1)$$

که در آن C غلظت واکنش دهنده در توده ای محلول، C_0 غلظت تعادلی در سطح الکترود و k ثابت تناسب است.

باید دانست که انتقال ماده تحت تأثیر انتشار منحصراً در داخل لایه ای انتشار، که در اطراف الکترود قرار دارد، انجام می گیرد. و ضخامت آن تابع غلظت ترکیب شرکت کننده در واکنش الکترودی،

¹ Migration

² Diffusion